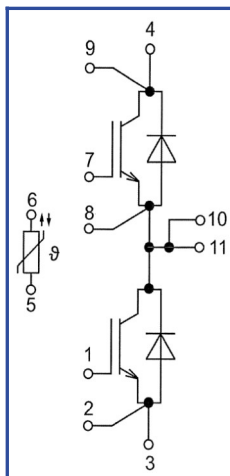
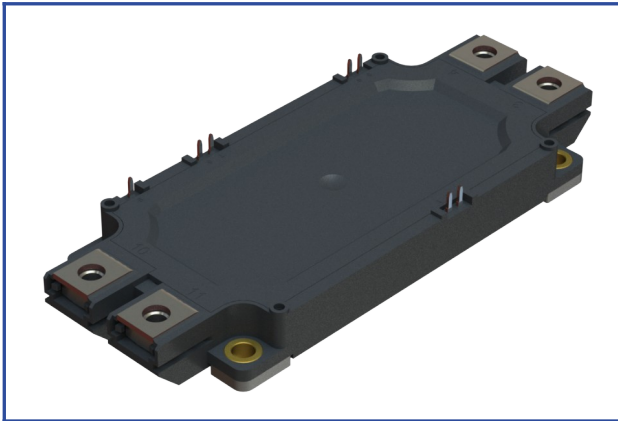


Низкоиндуктивный IGBT модуль высотой корпуса 17 мм

1700 В 300 А



Особенности чипов

- IGBT чип
 - низкое значение $U_{CE(sat)}$
 - длительность K3 10 мкс при 150°C
 - квадратная область RBSOA при 2xI_C
- FRD чип
 - быстрое и мягкое восстановление
 - низкое падение напряжения

Особенности конструкции

- медное основание
- Al₂O₃ DBC подложки
- разварка силовых шин медной проволокой
- улучшенная стойкость к термоциклам
- соответствие RoHS
- низкое значение индуктивности

Типовые применения

- приводы двигателей переменного тока
- инверторы напряжений для солнечных панелей
- системы кондиционирования воздуха
- преобразователи высокой мощности и ИБП
- инверторы ветрогенераторов

Предельно допустимые значения параметров

Параметр	Обозн.	Условия	Знач.	Ед.
IGBT				
Напряжение коллектор-эмиттер	U_{CES}	$U_{GE} = 0$.	1700	В
Максимально допустимый постоянный ток коллектора	$I_{C 25}$	$T_{vj(max)} = 175^{\circ}C; T_c = 25^{\circ}C$.	567	А
	$I_{C 80}$	$T_{vj(max)} = 175^{\circ}C; T_c = 80^{\circ}C$.	300	А
Максимальный повторяющийся импульсный ток коллектора ^{*1}	I_{CRM}	$I_{CRM} = 2 \times I_{C nom}; t_p = 1 \text{ мс.}$	600	А
Длительность импульсного тока короткого замыкания	t_{psc}	$T_{vj} = 25^{\circ}C; U_{GE} = \pm 15 \text{ В}; U_{CE} = 1000 \text{ В}; R_{G on} = 3 \text{ Ом}; R_{G off} = 30 \text{ Ом}$	10	мкс
		$T_{vj} = 150^{\circ}C; U_{GE} = \pm 15 \text{ В}; U_{CE} = 1000 \text{ В}; R_{G on} = 3 \text{ Ом}; R_{G off} = 30 \text{ Ом}$	10	
Напряжение затвор-эмиттер	U_{GES}		± 20	В
Рабочая температура в области перехода кристалла	$T_{vj(op)}$		-40...+150	°C
Диод чоппера/Обратно-параллельный диод.				
Повторяющееся импульсное обратное напряжение	U_{RRM}	$U_{GE} = 0 \text{ В.}$	1700	В
Максимально допустимый постоянный прямой ток	$I_F 25$	$T_{vj(max)} = 175^{\circ}C; T_c = 25^{\circ}C$.	418	А
	$I_F 80$	$T_{vj(max)} = 175^{\circ}C; T_c = 80^{\circ}C$.	300	А
Повторяющийся прямой импульсный ток ^{*1}	I_{FRM}	$I_{FRM} = 2 \times I_{F nom}; t_p = 1 \text{ мс.}$	600	А
Рабочая температура перехода	$T_{vj(op)}$		-40...+150	°C
Модуль				
Температура хранения	T_{stg}		-55...+50	°C
Напряжение пробоя изоляции	U_{isol}	AC sin 50 Гц; t = 1 мин.	4000	В

*1 Длительность импульса и частота повторения должна быть такой, чтобы температура перехода не превышала $T_{vj max}$.

Характеристики

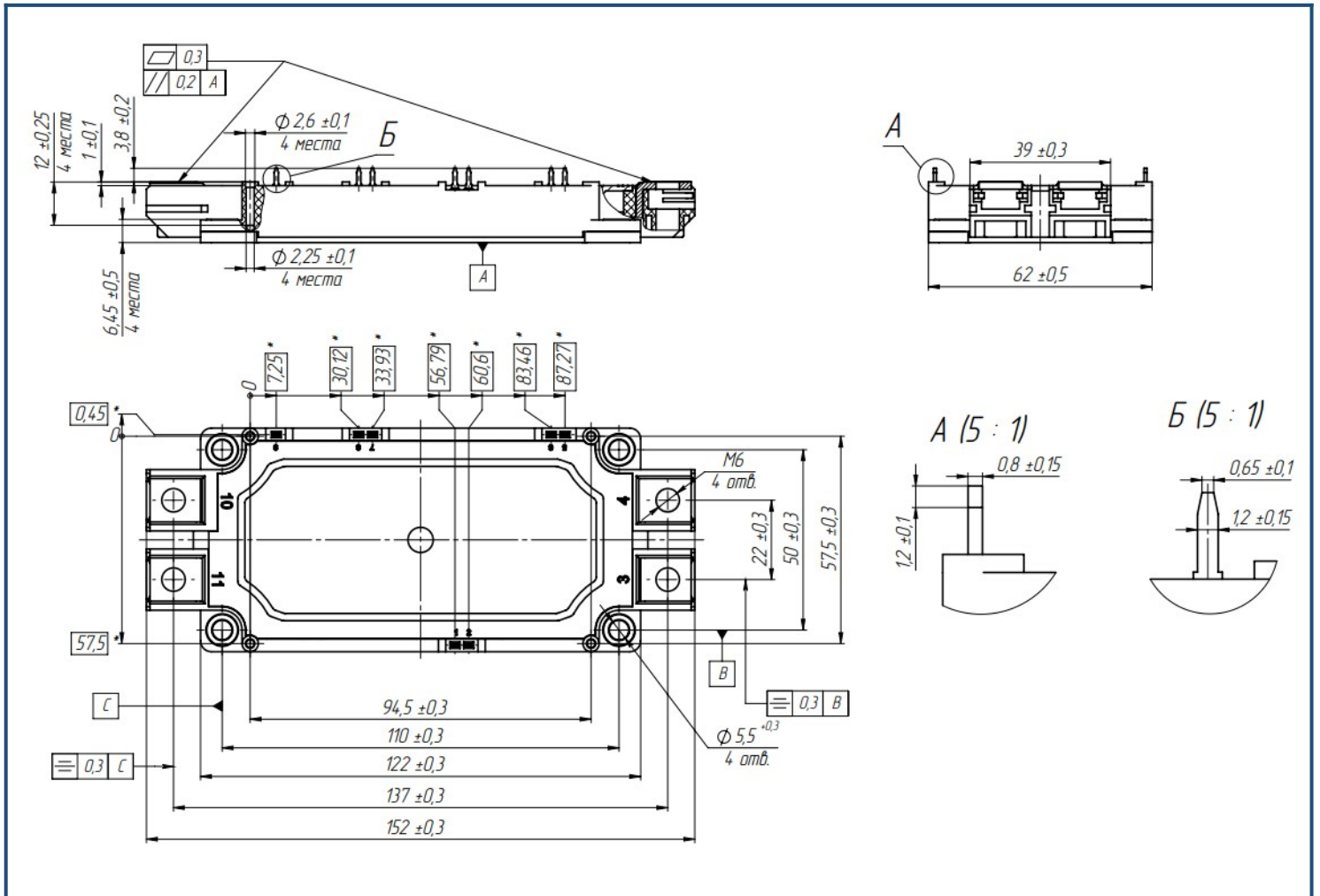
Параметр	Обозн.	Условия	Знач.			Ед.		
			мин.	тип.	макс.			
IGBT								
Напряжение насыщения коллектор-эмиттер	U_{CEsat}	$U_{GE} = +15\text{ V}; I_C = 300\text{ A}; t_u = 1000\text{ мкс.}$	$T_{vj} = 25^\circ\text{C}$ $T_{vj} = 150^\circ\text{C}$	1.70 2.10	1.95 2.45	2.25 2.90	В В	
Пороговое напряжение затвор-эмиттер	$U_{GE(th)}$	$I_C = 12\text{ mA}; U_{CE} = U_{GE}; T_{vj} = 25^\circ\text{C}; t_u = 2\text{ мс.}$		4.15	6.10	8.10	В	
Ток утечки коллектор-эмиттер	I_{CES}	$U_{CE} = 1700\text{ В}; t_u = 50\text{ мс}; U_{GE} = 0.$	$T_{vj} = 25^\circ\text{C}$ $T_{vj} = 150^\circ\text{C}$	- -	13.00 2.00	300 8.00	мкА мА	
Ток утечки затвор-эмиттер	I_{GES}	$U_{CE} = 0; U_{GE} = \pm 20\text{ V}; T_{vj} = 25^\circ\text{C}; t_u = 30\text{ мс.}$		-	13.00	200	нА	
Входная ёмкость	C_{ies}	$U_{CE} = 25\text{ В}; U_{GE} = 0\text{ В};$		-	24.00	-	нФ	
Обратная передаточная ёмкость	C_{res}	$f = 1\text{ MHz}; T_{vj} = 25^\circ\text{C}.$		-	0.75	-	нФ	
Заряд затвора	Q_G	$I_{Cmax} = 300\text{ A}; U_{CE} = 920\text{ В}; U_{GE} = -8...+15\text{ В}.$		-	-	2500	нКл	
Встроенный резистор затвора	R_{Gint}	$T_{vj} = 25^\circ\text{C}.$		-	2.83	-	Ом	
Время задержки включения	$t_{d(on)}$	$U_{CE} = 920\text{ В}; U_{GE} = \pm 15\text{ В}; I_{Cmax} = 300\text{ A}; R_G = 3\text{ Ом}; L_s = 56\text{ нГн}.$	$T_{vj} = 25^\circ\text{C}$ $T_{vj} = 150^\circ\text{C}$	72 87	102 124	127 153	нс нс	
Время нарастания тока коллектора	t_{ri}		$T_{vj} = 25^\circ\text{C}$ $T_{vj} = 150^\circ\text{C}$	32 34	42 45	49 52	нс нс	
Энергия потерь при включении	E_{on}		$T_{vj} = 25^\circ\text{C}$ $T_{vj} = 150^\circ\text{C}$	25.5 42.0	37.0 62.0	54.5 89.5	мДж мДж	
Время задержки выключения	$t_{d(off)}$		$T_{vj} = 25^\circ\text{C}$ $T_{vj} = 150^\circ\text{C}$	485 592	627 753	710 843	нс нс	
Время спада тока коллектора	t_{fi}		$T_{vj} = 25^\circ\text{C}$ $T_{vj} = 150^\circ\text{C}$	309 494	399 638	447 721	нс нс	
Энергия потерь при выключении	E_{off}		$T_{vj} = 25^\circ\text{C}$ $T_{vj} = 150^\circ\text{C}$	53.0 76.0	70.0 101.0	82.5 116.0	мДж мДж	
Пороговое напряжение коллектор-эмиттер	U_{CE0}		$U_{GE} = +15\text{ В}; T_{vj} = 150^\circ\text{C}; I_{CE1} = 75\text{ A}; I_{CE2} = 300\text{ A}; t_u = 1000\text{ мкс.}$		-	0.79	0.84	В
Динамическое сопротивление	r_{CE0}				-	4.73	5.36	МОм
Тепловое сопротивление переход-корпус	$R_{th(j-c)}$		$DC; I_{CE} = 250 \pm 50\text{ A}; I_{test} = 1.5\text{ A}; U_{GE} = +15\text{ В}.$		-	-	0.068	К/Вт
Обратно-параллельный диод.								
Постоянное прямое напряжение	U_F	$I_F = 300\text{ A}; U_{GE} = 0; t_u = 1000\text{ мкс.}$	$T_{vj} = 25^\circ\text{C}$ $T_{vj} = 150^\circ\text{C}$	1.65 1.90	1.90 2.20	2.20 2.55	В В	
Время обратного восстановления	t_{rr}	$U_{GE} = \pm 15\text{ В}; U_{CE} = 920\text{ В}; I_{Cmax} = 300\text{ A}; R_{Gon} = 3\text{ Ом}; L_s = 56\text{ нГн}.$	$T_{vj} = 25^\circ\text{C}$ $T_{vj} = 150^\circ\text{C}$	200 299	290 439	368 580	нс нс	
Импульсный обратный ток	I_{RM}		$T_{vj} = 25^\circ\text{C}$ $T_{vj} = 150^\circ\text{C}$	335 365	460 490	610 635	А А	
Заряд восстановления	Q_r		$T_{vj} = 25^\circ\text{C}$ $T_{vj} = 150^\circ\text{C}$	49 68	65 97	84 124	мкКл мкКл	
Энергия потерь при обратном восстановлении	E_{rec}		$T_{vj} = 25^\circ\text{C}$ $T_{vj} = 150^\circ\text{C}$	38.5 58.0	55.0 85.0	72.5 109.0	мДж мДж	
Пороговое напряжение	$U_{(TO)}$		$T_{vj} = 150^\circ\text{C}; U_{GE} = 0; I_{CE1} = 75\text{ A};$		-	0.91	0.96	В
Динамическое сопротивление	r_T		$I_{CE2} = 300\text{ A}; t_u = 1000\text{ мкс}$		-	3.54	4.19	МОм
Тепловое сопротивление переход-корпус	$R_{th(JC-D)}$	$DC; I_{CE} = 250 \pm 50\text{ A}; I_{test} = 1.5\text{ A}; U_{GE} = 0\text{ В}.$		-	-	0.132	К/Вт	

Модуль							
Сопротивление выводов	R_{Pxy}	$T_{vj} = 25^{\circ}\text{C}$.	$R_{P10/11-3}$	-	0.92	1.00	мОм
			$R_{P10/11-4}$	-	0.59	1.00	
Паразитная индуктивность модуля между силовыми выводами	L_{Pce}			-	26	-	нГн
Сопротивление термистора	R_t	$T_{vj} = 25^{\circ}\text{C}$ $T_{vj} = 150^{\circ}\text{C}$		4850	-	6225	Ом
				160	-	195	
Тепловое сопротивление корпус-основание	R_{thCH}	для модуля		-	0.009	0.014	К/Вт
Момент затягивания винтов корпуса	M_s	к охладителю М5		3	-	6	Н*м
Момент затягивания на силовых выводах	M_t	к клеммам М6		3	-	6	Н*м
Масса	W			-	360	-	г

“ - ” — данные будут уточняться по мере набора статистики и проведения дополнительных испытаний.

Примечания:

- Рабочая температура корпуса и изоляционных материалов не должна превышать $T_c = 125^{\circ}\text{C}$ макс;
- Рекомендуемая рабочая температура кристалла $T_{vj\text{ op}} = -40\dots+150^{\circ}\text{C}$.

Габаритные размеры: тип корпуса – D2

Руководство по маркировке

MID2	-	HB	17	LA	-	300	N	
MID2								Тип корпуса IGBT модуля: D2
		HB						Полумост
			17					Номинальное напряжение ($U_{CES}/100$)
				LA				IGBT+FRD модификация чипсета
						300		Средний ток
							N	Климатическое исполнение: умеренный климат

Информация, содержащаяся в данном документе, защищена авторским правом. В интересах улучшения качества продукта АО «Протон-Электротекс» оставляет за собой право вносить изменения в информационные листы без предварительного уведомления.